

<解說>

R.I. 测厚計의 特性

陸 鍾 漵*

漢陽大學校 工科大學 原子力工學科

I. 序論

古里 1 號機 原子爐(PWR)의 移動을 前後로 하여 우리 나라의 工業技術의 發展은 飛躍的인 것이며 1977 年에 100億瓦 輸出이라는 一大工業國으로 登場하게 되었으며 80年代를 指向하는 우리의 理想은 物量의으로 豐饒할 뿐만 아니라 質的인 生產品으로 其所得을 駕歌할 때가 왔다. 따라서 製品의 原價切減을 為해서나 國際競爭을 克服하기 為해서도 製品 및 機器의 品質管理와 品質保障 問題는 必然的인 것이고 이 問題解決을 最近에는 放射線을 應用한 各種計測器와 非破壞検査法을 利用하고 있음은 周知의 事實이다.勿論 放射線追迹子(Radioactive tracer)도 利用되고 Radiography에 依한 비파괴 검사(Nondestructive Testing)法以外에 超音波探傷法, 磁粉探傷法, 涡流探傷法 等等 여러 가지가 있으나 여기서는 主로 放射性同位元素를 利用한 各種測定器인 Gauges에 對한 內容解說을 為主로 하고 紙面이 許諾하면 NDT인 RADIOGRAPHY에 對해서도 言及하고자 한다.

2. 测厚計(Thickness gauge)

2-1 : 原理와 構造

物體中(試材)의 放射線의 吸收로 因한 透過 및 散亂現象을 利用하여 物體, 特히 金屬材料의 두께를 測定하는 裝置가 Thickness gauge며 原理에 따라 透過型과 散亂型(Backscattering 도 包含)의 두 가지가 되고 測定하는 對象試材에 따라 β 線 또는 γ 線을 使用하며 一般 金屬表面의 鎔金層의 두께를 測定할 때 螢光 X線을 使用하고 生產工程에 設置하여 On-Line으로 使用한다.

* 本學會 會長 및 國際放射線防禦學會 極東地域 代表理事

測定原理로서 物體內를 放射線이 通過할 때 其物體의 密度와 두께에 따라서 入射한 放射線은 吸收에 依한 其强度의 減衰가 生긴다. 지금 物體에 入射하는 放射線의 強度를 I_0 , 透過된 放射線의 強度를 I 라고 하면

$$I = I_0 \exp(-\mu x) \cdots (1)$$

과 같이 되고 (1)式에서 μ =減衰係數 (cm^{-1}), x =試材의 두께 (cm)며 μ 는 放射線의 種類와 energy 및 試材의 密度에 따라서 決定되는 故로 I_0/I 即 入射線과 透過線의 強度의 比를 求함으로써 試材의 두께를 測定(x 를 測定)하게 된다.

(1)은 入射線束이 集束(Collimated beam)되어 있고 또한 試材의 두께가 얕을 때는 成立되나 深은 入射線(Broad beam)일 때와 試材가 두꺼울 때는 適用치 不한다. 왜냐하면 두꺼운 金屬材 内에서 透過線束과 散亂線이 同時に 檢出器에 入射되기 때문이고 이때는 再生係數(Build-up factor) B 를 (1)에 導入하여

$$I = I_0 B \exp(-\mu x) \cdots (2)$$

의 式을 使用해야 하며 이 B 의 値은 各種材料와 各energy에 따라서 다른 値을 나타내며 無次元數가 된다. Radiation-Protection에서는 $B=Dose Build-\mu p$ factor라고 하며 其線源의 Geometry에 따라서 또 μ 의 値에 따라서 다음 表1과 같이 된다.

物體를 透過한 放射線 1個가 檢出器에 入射하여 i (Amp)의 電流가 流れる다고 하면 I_0 의 入射線에 對해서는

$$F(z) = i N_0 \exp(-\mu z) \cdots (3)$$

의 電流인 感應函數 $F(z)$ 가 되고 N_0 는 全放射線個數가 되며 物體 即 試材의 두께가 變化하면 이에 對應하는 出力函數(感應函數)의 變化는

$$\frac{\partial F}{\partial z} = -i N_0 \mu \exp(-\mu z) = -\mu F \cdots (4)$$

와 같이 된다. 即 두께 z 가 变化할 때에는 그 두께의 微少變化인 Δz 에 對應하는 出力變化 ΔF 는 커지고 그 두께 z 가 두꺼울 때(를 때)는 ΔF 가 적어진다.

實際工場에서 設置한 가장 簡單한 例를 다음 그림 1

表 1. Dose Build Up Factors for Water, Iron and Lead

MeV	(a) Pointisotropic Geometry (μ_x)						MeV	(b) Plane monodirectional geometry (μ_x)					
	1	2	4	7	10	15		1	2	4	7	10	15
Water												Water	
0.5	2.52	5.14	14.3	38.8	77.6	178.0	0.5	2.63	4.29	7.05	20.0	35.9	74.9
1	2.13	3.71	7.68	16.2	27.1	50.4	1	2.26	3.39	6.27	11.5	18.0	30.8
2	1.83	2.77	4.88	8.46	12.4	19.5	2	1.84	2.63	4.28	6.96	9.87	14.0
3	1.69	2.42	3.91	6.23	8.63	12.8	3	1.69	2.31	3.52	5.51	7.48	10.8
Iron												Iron	
0.5	1.98	3.09	5.98	11.7	19.2	35.4	0.5	2.07	2.94	4.87	8.31	12.4	20.6
1	1.87	2.89	5.38	10.2	16.9	28.3	1	1.82	2.74	4.57	7.81	11.6	18.9
2	1.76	2.43	4.13	7.25	10.9	17.6	2	1.69	2.35	3.76	6.11	8.78	13.7
3	1.55	2.15	3.51	5.85	8.51	13.5	3	1.58	2.13	3.32	5.26	7.41	11.4
Lead												Lead	
0.5	1.24	1.42	1.69	2.0	2.27	2.65	0.5	1.24	1.39	1.63	1.87	2.08	—
1	1.37	1.69	2.26	3.0	3.74	4.81	1	1.38	1.68	2.18	2.30	3.40	4.20
2	1.39	1.76	2.51	3.66	4.84	6.87	2	1.40	1.76	2.41	3.36	4.35	5.94
3	1.34	1.68	2.43	3.75	5.30	8.44	3	1.36	1.71	2.42	3.55	4.82	7.18

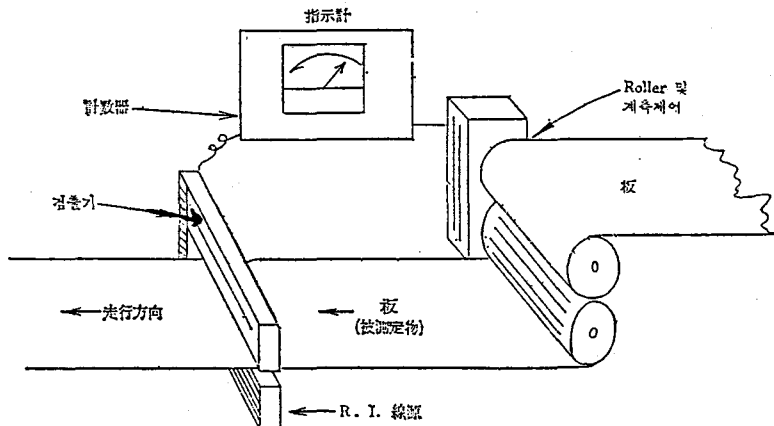


그림 1. Thickness Gauge 의 测定装置

로서 例示할 수 있다.

散亂型 Thickness gauge 에는 β 線의 Backscattering 을 利用하여 各種被覆體의 두께를 测定할 때와 γ 線의 Backscattering 을 利用하여 金屬被覆의 두께를 测定할 때가 있으며 β 線의 散亂에서는 物體의 두께가 두꺼울 수록 散亂量이 增加하고 어떤一定值以上에서 이 量이 饱和狀態가 되나 散亂線量은 物體의 原子番號(Z)가 클 수록 커진다. 例로서 β 線散亂量의 順序는 다음과 같다.

$Au > Sn > Ag > Cu > Al$ 的順이 되며 이 散亂型의 簡

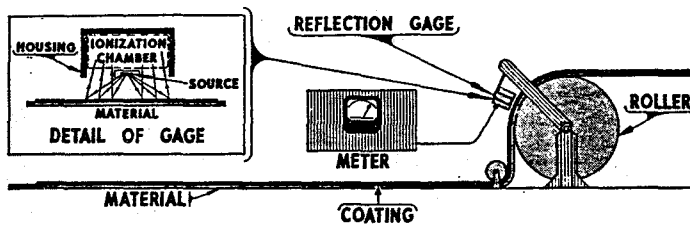
單한 例는 그림 2와 같다.

γ 線散亂型에서 Compton 散亂으로 物體에 入射하는 γ 線의 Energy 를 $E(\text{MeV})$, 波長을 $\lambda(\text{cm})$ 라고 하면 $E = \frac{1.24}{\lambda} \times 10^{-10} \dots (5)$

와 같은 關係가 成立하고 入射 γ 線의 波長 λ 와 散亂角 ϕ 方向의 散亂 γ 線의 波長을 λ' 라고 하면

$$\lambda' - \lambda = 0.243(1 - \cos\phi) \dots (6)$$

의 關係가 成立한다.



ADVANTAGES:

- 1-CAN MEASURE THICKNESS OF COATING AND/OR MATERIAL
- 2-MEASUREMENT MADE FROM ONE ACCESSIBLE SIDE
- 3-CAN MEASURE A VARIETY OF MATERIALS WITH ONE CALIBRATION

USAEC-ID-220

그림 2. 散亂型 (Backscattering) thickness gage

(3)式에서 $F =$ 檢出放射線量이 되고 $F_0 = iN_0$ 가 되어
 $F = F_0 \exp(-\mu x)$... (7)

라고 表現할 수 있으며 F 值에는 雜音이 混入하여 測定誤差를 가져온다. 따라서 이 誤差를 分析 檢討하면 다음과 같다.

(1) 統計遙動誤差: 이는 放射線源에서 放射하는 放射線量의 統計的放出誤差에 起因되어 被測定(x)에서 (Δx) 의 統計的誤差가 生길 때 다음과 같은 式이 成立된다.

$$(\Delta x)_{\text{stat}} = \sqrt{\frac{2\langle q \rangle (1 - (\sigma_q/\langle q \rangle)^2) \langle F \rangle}{RC}} \times \left(\frac{1}{\frac{\partial F}{\partial x}} \right)$$

$$\approx \sqrt{\frac{2\langle q \rangle \langle F \rangle}{RC}} \cdot \frac{1}{\left(\frac{\partial F}{\partial x} \right)} \quad \dots \dots \dots (8)$$

여기서 $\sigma_q = q$ 是 電流遙動值의 標準偏差, RC 是 一回路의 time constant다.

(2) 定數形誤差: 檢出器나 測定回路에서 생기는 檢出量에 無關한 雜音에 起用하는 誤差로 其雜音成分을 $\Delta\beta$ 라고 하면

$$(\Delta x)_{\text{const}} = \frac{\Delta\beta}{\left(\frac{\partial F}{\partial x} \right)} \quad \dots \dots \dots (9)$$

(3) 比例形誤差: 檢出器나 電子回路에 들어오는 雜音中 信號成分에 比例하는 量으로서 檢出系의 感度變化로서 나타나는 雜音에 起因되는 誤差로 比例定數를 α 라고 하면

$$(\Delta x)_{\text{prop}} = \frac{\alpha F}{\left(\frac{\partial F}{\partial x} \right)} \quad \dots \dots \dots (10)$$

과 같이 된다. 이 α 는 溫度와 關係되고 $\alpha = \frac{10^{-3}}{10^\circ C}$ 程度 일 때 其回路는 安定性이 維持된다.

(4) 函数形誤差: (7)式에서 表現된 特性函數 其自體

의 變化를 받을 때 이는 線源, 檢出系의 幾何學의 配置나 放射線束의 變化等에 起因한다고 生覺되며 皮上的 吸收係數의 變化로서 表現된다. 지금 μ 的 變化值가 $(\Delta\mu)$ 라고 하면

$$(\Delta x)_{\text{func}} = \frac{\Delta\mu}{\mu} (x) \quad \dots \dots \dots (11)$$

上記 (8), (10)式으로 나타낸 것은 特性函數 F 依하여 變化하므로 (7)式에 이를 代入하면

$$(\Delta x)_{\text{stat}} = \sqrt{\frac{2\langle q \rangle}{RC \cdot F_0}} \cdot \frac{\exp \frac{\mu x}{2}}{\mu} \quad \dots \dots \dots (12)$$

$$(\Delta x)_{\text{const}} = \frac{\Delta\beta}{F_0} \cdot \frac{\exp(\mu x)}{\mu} \quad \dots \dots \dots (13)$$

$$(\Delta x)_{\text{prop}} = \Theta \frac{\alpha}{\mu} \quad \dots \dots \dots (14)$$

과 같이 되어 $(\Delta x)_{\text{stat}}$ 와 $(\Delta x)_{\text{const}}$ 는 檢出効率을 높여 使用하는 RI의 放射能을 增加시켜서 F_0 의 値을 크게 하면 두 値은 적어지고 이들 條件을 一定하게 하면 測定 두께 x 일 때 誤差를 最少로 하는 吸收係數 μ_{opt} 이 存在하여 각各 다음과 같이 된다.

$$\mu_{\text{opt}} = \frac{2}{x} \quad \left. \begin{array}{l} (\Delta x)_{\text{stat}} \text{ 最少로 됨} \\ (\Delta x)_{\text{const}} \text{ 最少로 됨} \end{array} \right\} \quad \dots \dots \dots (15)$$

(15)의 結果에서 放射線透過形 Thickness gauge의 最適吸收係數 (μ_{opt})를 가진 放射線을 使用함이 가장 適切하고 이 때

$$\mu_{\text{opt}} \cdot x = 1 \sim 2 \quad \dots \dots \dots (16)$$

가 됨을 알 수 있으나 實際 其實測範圍는

$$\mu x = 0.5 \sim 4 \quad \dots \dots \dots (17)$$

程度가 適當하다. $^{90}\text{Sr}-^{90}\text{Y}$ β 線源 ($\mu = 0.00075 \text{m}^2/\text{g}$), ^{85}Kr β 線 ($\mu = 0.003 \text{m}^2/\text{g}$) 및 ^{147}Pm β 線 ($\mu = 0.015 \text{m}^2/\text{g}$)

때 統計遙動誤差 $=4 \times 10^{-4}$, 定數形誤差 $=1 \times 10^{-4}$, 比例形誤差 $=5 \times 10^{-4}$ 가 되고 誤差의 크기는 同一한 두께 (g/m^2) 때 다음과 같은 크기의 順位가 된다.

$$^{90}\text{Sr} - ^{90}\text{Y} > ^{85}\text{Kr} > ^{147}\text{Pm} \quad (\text{但 } \mu \text{는 각각 다름})$$

2-2: β 線透過形 測厚計

β 線은 γ 線에 比하여 透過力이 적고 吸收係數가 크므로 各種 紙類, Plastic film, Vinylo, 金屬薄板 等 않은 材料를 測定하여 現在 使用되고 있는 β 線源은 ^{14}C , ^{85}Kr , ^{90}Sr , ^{147}Pm , ^{234}Tl 等이고 其 energy는 大略 $0.039\text{MeV} \sim 0.77\text{MeV}$ 程度의 것�이 된다.

2-2-1: 檢出器

β 線 檢出에 感度가 높은 것이라야 하고 또 한 높은 β 線量일 때도 測定할 수 있어야 하며 分解時間(Resolving time)이 짧고 檢出感度의 經時 및 溫度變化가 적은 것이 要求된다. 現在 이들 觀點에서 블데 Halogen-Ar 氣體를 封入한 電離凹이 널리 使用되고 Ar-9cmHg, Ethanol=1cmHg 氣壓으로 混合된 氣體의 전리함이 市販되고 있다. 이들 氣體는 電子사태를 防止하는 quenching 役割을 함으로서 quenching gas라고도 하며 Internal quenching 이 된다.

G-M tube도 이들 氣體를 封人하고 있으며 Tube 外部에 高抵抗($\sim 100\text{M}\Omega$)을 넣어서 External quenching 作用을 시키기도 한다. 전리함의 特性은 封入 gas의 種類, 壓力, 電極構造(陽, 陰極)材質等에 따라서 變하며 RC-time constant와 Ion 을 集電하는 Collector(anode)의 半徑 및 Cathode와 Collector 거리에도 關係된다. 이는 다음 式으로도 알 수 있다.

$$v(t) = \frac{N e n \{2V\mu / [r_1^2 p \ln(r_2/r_1)] + 1\}}{2C \cdot n l \left(\frac{r_2^2}{r_1}\right)} \quad (18)$$

上記式에서 N =容積當 每秒當 生成된 Ion 數, e =電荷, V =印加電壓, μ =易動率 (cm/sec) (volt/cm) $^{-1}$ (mmHg), p =壓力, r_2, r_1 =Collector 線 中心에서 檢出器 陰極까지의 거리(半徑) 및 陽極(Collector)의 半徑이다. 또 C =等價容量(檢出器의 容量과 人力回路의 並列容量을 合한 값)이다.

上記의 (Δx)의 變化를 쳐게 해야 其測定回路의 安定性이 維持되어 測定誤差가 쳐어져서 精密度와 品質管理에 有用될 것이고 結果的으로 G-M tube 檢出器일 때에는 出力 pulse 電壓 $v(t)$ (18式)의 變動率이 쳐어야 하며 이 pulse는 他檢出器보다 큰 點이 長點이다.

一般的으로 β 線 1個로 因한 檢出器內 生成된 電荷는 $q=10^{-15}\text{Coulomb}$ 이고 印加電壓 $=50\sim 300\text{V}$ / $10^{-9}\sim 10^{-10}\text{Amp}$ 며 (10式)에서와 같이 安定性으로 $\alpha=10^{-3}$ /

10°C 的 值을 가진다.

檢出器系統의 安定性에도 또한 問題 되는 것은 檢出器와 RI-Source 사이의 거리가 되고 이 사이의 거리를 $l\text{cm}$ 라고 하면

$$t_{\text{air}}=12.9 \times l \text{ g/m}^2 \quad (19)$$

의 空氣層이 存在하고 被測定物의 두께는 實際로 이 t_{air} (19式)를 加算한 두께를 읽게 되는 것이고 特히 水分含有量이 많은 紙類의 두께 測定에서는 問題視된다.

따라서 試材와 Source 사이의 間隔은 可能한限 짧게 해야 함은 (19式)에서 l 를 짧게 함이 되어 t_{air} 의 두께가 적어져서 誤差가 적게 된다.

空氣의 密度는 周圍의 溫度와 氣壓에 따라 鏡敏하게 變화하므로 t_{air} 가 變하며 (10式)의 比例形誤差의 要因이 된다. 例로서 (19)의 $l=5\text{cm}$ 라고 할 때 比例形誤差의 常數는 Source를 ^{85}Kr 로 할 때 $-6.4 \times 10^{-4}(\text{°C})^{-1}$ 로 되고 이로 因한 比例形誤差는 $-0.21(\text{g}/\text{m}^2) \cdot (\text{°C})^{-1}$ 로 된다. 이와 같이 두께가 얕을 때는 空氣의 密度變化가 計器의 指示誤差에 영향을 미치므로 이를 際去하기 为해서 l 를 적게 해야 하나 萬一 被測定物이 높은 溫度를 가진 金屬板(熱間壓인 板)일 때 檢出器自體가 加熱되므로 이를 消去하기 为해서 冷却水로 檢出器를 冷却시켜 주어야만 된다.

2-2-2: 安定性維持의 附加裝置

(1) 溫度補償法

上記의 般이 溫度問題를 解決하기 为해서 溫度보상법이 있다. 即 α_{air} 는 氣溫과 氣壓의 函數이므로 氣溫은 热電雙의 溫度計로 測定하여 電子回路로서 두께指示 信號에 补正을 하고 한편 氣壓에 對해서는 適當한 周期로서 自動校正을 하여 測定物 없이 空氣層 만의 두께에 對應하는 放射線檢出量이 恒常 一定하게 되도록 gain control을 해주는 方式이 實用化 되어 있다. 이 方式의 系統을 그림 3으로 表示한다.

그림 3의 方式은 急激한 氣壓變化에는 추종이 잘 되지 못하나 다른方式(以下)에 比하여 單一 Source, 單

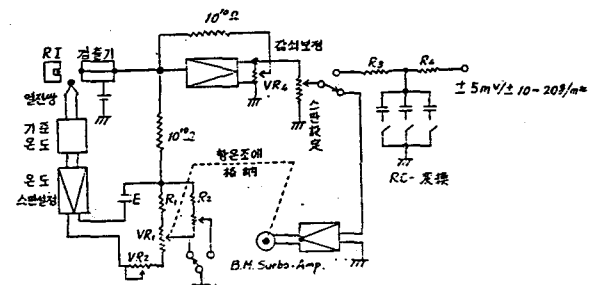


그림 3. 온도보상형 β 線測厚計의 信號系統

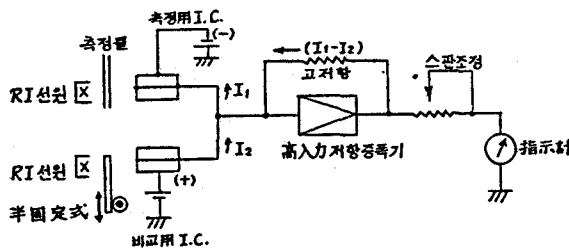


그림 4. 半固定式 测厚計

一檢出器라는 點이 有利하고 線源容器와 檢出器에 떨어져나 異物質이 付着되어도 自動으로 較正 된다는 利點도 있다.

(2) 差動電離函形

回路의 安定性을 높이기 為해 Source 와 전리함이 각각 두隻 있고 한쪽은 標準두隻으로 比較用 Source 와 比較用 전리함이 있고 다른 쪽에 被測定用 Source 와 전리함이 있어서 雙方 전리함의 出力의 差를 取하여 두隻을 표준치와 比較하여 읽는 方式이며 半固定式과 零位式差動形(Zero potential-Differential type) 测厚計가 있으며 이때 두隻의 Source—검출기의 Coupling 條件은 Source의 強度(Activity), 거리, 구조 및 出力 pulse 等이 同一해야 함은勿論이다. 또한 (19)式에서와 같이 t_{air} 가 同一해야 하며 전리함의 전리 gas의 壓力, 溫度等이 또한 同一해야 한다. 半固定式에 대한 一例를 그림 4로 表示한다.

半固定式은 比較系의 可動標準物을 半固定으로 한 것이고 测定할 두隻을 x , 標準物의 두隻을 x_0 라 하고 이때 测定系 및 比較系의 特性函數를 F_m, F_r 라고 하면 系全體에 對한 電離電流의 出力으로 表示한 特性函數 F 는

$$F = F_m - F_r = F_{m0} \cdot f_m(x) - F_{r0} f_r(x_0) \dots \dots \dots \dots (20)$$

과 같아 되고 두系의 F_{m0}, F_{r0} 를 同一하게 할 수 있는 故로 이를 F_0 라 하고 x 와 x_0 와의 偏差도 적다고 보고 이를 δx 라고 表示하면

$$F = F_0' \left(\frac{\partial f}{\partial x} \right)_{x=x_0} \cdot \delta x \dots \dots \dots \dots (21)$$

이 되며 두系의 比例形雜音에 依한 効果가 같다면 比例形雜音은 F 에 比例하게 되므로 比例形誤差(10式)는 다음과 같이 된다.

$$(\Delta x)_{prop} = \frac{\alpha F}{\left(\frac{\partial f}{\partial x} \right)} = \frac{\alpha F_0' \left(\frac{\partial f}{\partial x} \right)_{x=x_0} \cdot \delta x}{\left(\frac{\partial F}{\partial (\delta x)} \right)} \dots \dots \dots \dots (22)$$

即 單一 전리함에 比較하여 $(\mu \delta x)$ 倍가 되며 이때 $\mu \cdot \delta x < 1$ 이다.

그림 4의 高低抗은 大略 $10^{10}\Omega$ 程度고 現在 炭素被膜 또는 金屬酸化物 被膜形이고 溫度特性은 500~2,000 ppm 程度가 된다. 이 값은 測度가 變하면 이 값이 比例形誤差의 比例常數가 되어 實用的인 온도變化인 $\pm 5^\circ C$ 에 대해서 10^{-2} 의 크기가 되어 單獨으로는 두隻측정기로서 其性能을 發揮하지 못한다. 따라서 그림 3과 같이 高抵抗器는 恒溫槽內에 넣어두어서 其溫度特性을 好く 해준다.

差動전리함方式으로 하는 경우 고저항의 變化에 起因하는 比例形誤差는 (22)式으로 表示되어 單一전리함方式과 比較하여 $(\mu \delta x)$ 倍로 減少되고 實用的으로恒溫槽을 使用하지 않는 利點이 있다. 뿐만 아니라 전리함의 檢出感度도 전리gas의 壓力에 大略 比例하여 變하기 때문에 單一전리함이면 전리함의 氣密이 重要視되나 투과력이 적은 低 energy β -線의 檢出에는 檢출기의 방사선入射窓의 두隻을 적게 해야 하므로 技術的으로 困難해 진다 이 點도 차동전리함으로 하면 氣密性의 要求도 없어지는 利點을 가진다. 단 統計의 요동(8式)을 보면

$$(AF)_{stat} = \sqrt{2} (F_m - F_r)_{stat} = \sqrt{2} (AF_m)_{stat} \text{ 또는}$$

$$\sqrt{2} (AF)_{stat} \dots \dots \dots \dots (23)$$

과 같이 되어 單一전리함에 比해 其값이 커진다. 實際로 比較系의 信號는 자주 變動하지 않으므로 比較系의 전리함出力 측에만 Low pass-filter를 넣어 比較系의 應答을 낮게 하여 比較系의 統計요동을 적게 하는 方式이 考案되어 實用化 되고 있다. 이 方式을 그림 5로 示한다.

参考로 零位方式은 (21), (22)式의 δx 가 零이 되는 方式이어서 比例形誤差는 除去된다고 보나 测定系가 複雜하다는 缺點을 가지고 있음을 指摘한다.

上記方法과 달리 Vibration Capacitance Converter (V.C.C)를 利用하여 回路의 安定性을 期향도 있고 이는 다음과 같다.

一般的으로 전리전류(전리함의 出力)는 外部의 고저항($10^{10} \sim 10^{11} \Omega$)을 通하여 電壓降下가 生기고 A.C. 주

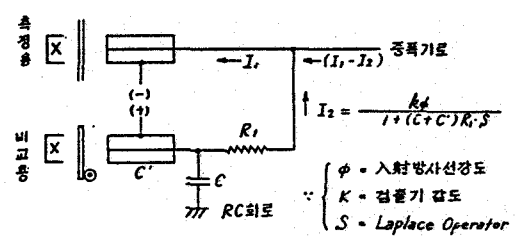


그림 5. 比較系의 통제요동 오차를 減少시키는 차동형 전리함 方式

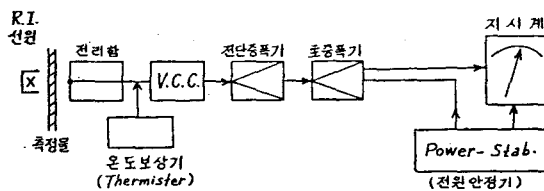


그림 6. V.C.C. 가 插入된 경우의 Block diagram

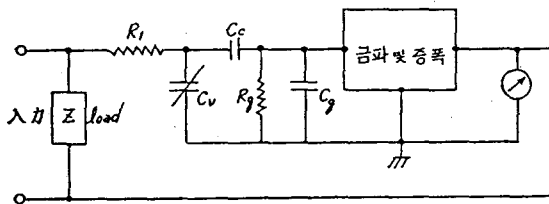


그림 7. V.C.C. 의 回路圖

폭기를 使用하여 신호는 D.C.에서 A.C.로 Convert 할 때 이 V.C.C. 가 必要하다. 이 회로에는 2π -Type filter 가 插入되어 noise 를 去除하고 100% D.C. feed back 로 synchronized rectification 後에 input 가 되게 했고 따라서 全體回路은 安定되어 기계적 진동에도 영향을 받지 않는 장점이 있으며 response time 은 2sec 정도다. V.C.C. 를 利用한 系統圖는 다음 그림 6, 7로 表示한다.

그림 7에서 入力信號에 依해 C_g 는 Charging 되고 兩極板에는 frequency f_0 로 진동시킨다. 이때 C_g 兩端에는同一 freq 의 A.C. 가 發生한다. R_1 은 진동주파에 대한 filter 저항이고 C_c 는 Coupling Condenser 로 D. C.에서 A.C.成分만 통과시켜 겹파 및 증폭기로 信號가 전달되며 C_g 의 값은 大端히 적고 $R \cdot C_p$, $R_g \cdot C_v$, $R_g \cdot C_g \gg \frac{1}{2\pi f_0}$, $f_0 = 500\text{c/s}$, $R_1 = R_g = 200\text{m}\Omega$, $C_v = 30\text{pf}$, $C_g = 20\text{pf}$ 로 되어 있으나 固定值은 아니다.

(3) 溫度補償

그림 3에서 온도보상형 β 線測厚計의 構度을 圖示한 바 있으나 其補償前後의 特性曲線은 다음 그림 8-a, b 와 같다.

온도變化의 主原因中 전리함과 겹출기의 고저항체에서 오는 영향이 크며 온도계수는 20°C 때 ~ 0.6% 정도이고 Thermister 도 이 온도 보상에 利用되어 이는 20°C 때 $-3\%/\text{ }^\circ\text{C}$ 的 온도계수를 가진다.

(4) 空氣보상

β 線測定計의 간도를 높여서 두께를 测定하면 방사선의 통계요동과 別途요동으로 因한 指示가 나타나며 이는 空氣密度變化에 起因하는 오차가 되고 이 보상에는

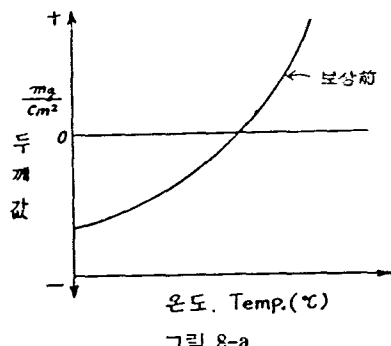


그림 8-a

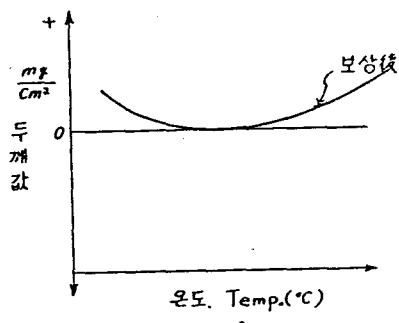


그림 8-b

보통 Blowing 이라 하여 공기를 불어 넣어 주며 其効果가 있다. 이 Blowing 은 Source-Detector 사이에 공기를 吹入시켜 중으로써 指示의 電離成分이 減少 한다. Blowing 前과 後를 比較하여 約 $1.7\text{g}/\text{m}^2$ 的 差가 있음이 實驗으로 나타났다.

(5) 實用된 β 線測厚計의 一例

一般的인 β 線透過形 测厚計의 特性을 다음과 같은 表2로 例示한다.

實際測定 對象物中 plastic film이나 紙類等의 製造에서 其幅은 $1\text{m} \sim 10\text{m}$ 까지도 있으며 其全體幅의 测定이 要求될 때가 많다. 이때 2m 以上인 幅測定에는 O形이동장치가 使用된다. 이는 RI-Source 용기(Container)와 Detector 를 각각 平行으로된 rail에 따라 移動하면서 测定하며 O形이동장치는 Space factor는 良好하나 Source 와 Detector 사이의 相對的位置가 多少라도 틀리면 指示의 오차가 생기므로 이에 對한 細心한 注意가 必要하다.

이와 對照的으로 比較的 좁은幅의 测定物일 때는 C形이동장치가 使用된다. 이는 Source 와 Detector 를 堅固한 C形 flame 으로 結合시켜 测定하므로 그 측정 폭은 2m 정도지만은 O形장치와 比較하여 구조가 간단하고 Scan 오차도 없고 保守에 便利한 點이 있다.

表 2. β 線透過形 測厚計의 一例

使用 R.I.	測定範圍		
^{147}Pm	2~160g/m ²		
^{85}Kr	5~1,000g/m ²		
^{90}Sr	50~6,000g/m ²		
測定面積	測定物幅		
$\sim 50 \times 140\text{mm}$	1.4m 以下(C型移動장치 使用) 1m 以上(O形이동장치 使用)		
移動장치 내용			
Scaning	固定點측정 — X設定	Scanning 측정 Limited Switch 付着電子式	Profile 측정 전자式
移動속도 (표준)	9m/min 0.5~3m/min, 1~6m/min	3m/min, 0.5~3m/min, 1~6m/min	3m/min, 0.5~3m/min, 1~6m/min
移動장치	C形	C形, O形	C形, O形

* 電源=AC100V, 50/60Hz, 約 500VA

上記 表2中 Profile 測定이라 함은 測定物의 「幅方向의 두께變化」를 測定함이고 製造過程에서 幅方向의 두께變化를 管理하여 品質保證을 해주는 目的이고 이

Profile 을 몇번 측정하여 其平均 profile 을 얻어 測厚하는 gauge 도 實用化되었다. 이 profile 測定用 測厚計는 RI-Source 가 線狀이고 移動速度도 被測定物의 移動速度와 比例해야 하고 指示는 x-y Recorder 를 使用하여 測定物의 幅方向을 x 軸, 두께 값을 y 軸으로 記錄하여 이 profile 이 視覺的이고 立體的이 되어 있다. 表2와 같이 一般的인 β 線透過形 測厚計의 性能中 品質管理用 精密度는 다음의 表3과 같다.

3. γ -線 透過形 測厚計

γ -X 線은 一種의 電磁波이며 β 線에 比하여 其透過力이 强하여 各種金屬板의 熱間 또는 冷間壓延때 두께測定計로 使用 되고 γ 線의 energy에 따라 또 吸收物質에 따라 光電效果, Compton 散亂, 雙電子生成 (pair production)의 現象이 生김은 周知의 事項이고 實用的인 $\gamma(x)$ 線源은 ^{55}Fe , ^{60}Co , ^{109}Cd , ^{137}Cs , ^{147}Am 等이 있다.

3-1: 檢出系

β 線利用 두께측정기인 β Thickness gauge 는 測定 두께가 얕아 측정 gap이 존재하여 空氣密度에 依한 측정오차가 있었으나 γ 線 Thickness gauge 는 測定두께가 두껍기 때문에 이 오차는 문제시 되지 않는다. 但

表 3. β 투과형 thickness gauge 의 精密度

R.I. 使用선원	測定두께 (g/m ²)	5	20	50	100	160	참 고
$^{147}\text{Pm}(50\text{mCi})$	短周期오차(2초 2σ)	1.8	0.5	0.3	0.22	0.25	gap 10mm
	長周期오차(10H 7°C)	1.4	1.1	0.44	0.23	0.15	RC=2sec
	Passline 오차($\pm 2\text{mm}$)	1.2	0.5	0.35	0.32	0.32	—
	Scan 오차	2.76	0.75	0.35	0.21	0.17	Scan 보정 없음
R.I.	측정두께 (g/m ²)	10	80	200	500	1,000	참 고
$^{85}\text{Kr}(40\text{mCi} \sim 1,000\text{mCi})$	단주기오차(40mCi)	2.3	0.32	0.16	0.11	0.11	gap 15mm
	" (2초 2σ) (1,000mCi)	0.89	0.13	0.10	0.05	0.05	RC=2sec
	장주기오차(10H 7°C)	2.25	0.30	0.15	0.10	0.05	—
	Passline 오차($\pm 2\text{mm}$)	0.76	0.33	0.33	0.33	0.33	—
	Scan 오차	2.76	0.37	0.18	0.10	0.07	Scan 보정 없음
R.I.	두께 (g/m ²)	200	500	1,000	3,000	6,000	참 고
$^{90}\text{Sr } 30\text{mCi}$	단주기오차(2sec 2σ)	0.38	0.2	0.1	0.07	0.12	gap 15mm
	장주기오차(10H 70°C)	0.52	0.22	0.12	0.06	0.05	RC=2sec
	Passline 오차($\pm 2\text{mm}$)	0.82	0.47	0.3	0.2	0.12	—
	Scan 오차	0.61	0.26	0.15	0.08	0.07	Scan 보정 없음

β -gauge의 검출기와 같이 测定物 周圍의 温度, 濕氣에는 영향이 있고 검출기의 종류, 구조에 따라서 영향은 다르다. 또한 γ 線은 투과력이 强하므로 其 차폐문제는 반드시 고려되어야 하며 Radiation Protection에 대한 각별한 注意가 要求된다. 大體로 Thickness gauge의 detector는 전리합이나 γ 線檢出에는 이외에 NaI(Tl)-Scintillator가 전리합形 검출기 보다 검출효율이 10倍以上 높으나 分解時間이 10^{-6} sec程度고 安定度가 낮다는 缺點을 가지고 있다. 이 安定度의 보상을 為해서 γ 線變調方式이나 比較方式等이 있으나 구조가 복잡하여 전리합을 대체하여 使用할 段階는 아니다.

전리합은 Ar, Xe gas를 數氣壓以上으로 해서 檢出率을 높이고 있으며 특히 Xe을 封入한 전리합은 紙 energy $\gamma(x)$ 線에 對한 檢出率은 大端히 높다. ^{241}Am 의 γ 線(60KeV)에 對해서는 30~60% 정도로 된다. γ 線 두께 측정計用 전리합의一般的特性은 다음과 같다.

檢出率 : $1\sim 5 \times 10^{-12} \text{Amp}/(\text{mR}/\text{h})$ (for $^{137}\text{Cs}-\gamma$)

約 1~5%

30~60% ($^{241}\text{Am}-\gamma$)

印加電壓 : 50~500Voets

3-2: 信號의 處理

Detector에서 나온 出力은 (7)式과 같이 두께의 지수함수(Exponential function)이고 直線關係는 아니다. 金屬工業, 主로 鐵鋼業에서 γ 線 투과형 Thickness gauge를 壓延 Line이나 檢查 Line에 설치하여 結局 On-Line 方式으로 使用하거나 最近에 와서 壓延機는 自動 program, 檢查도 自動選擇機를 採用하여 Computer로 總合的으로 管理하게 되었다. 따라서 두께의 設定은 外部에서 設定信號를 받아서 設定되고 出力信號는 10進 서너자리 Digital 方式이 많고 따라서 設定值도 이와 符合하는 方式이 要求된다. 現在 γ 線 투과형 Thickness gauge는 거의 10進 서너자리 Digital 方式을 採用하고 設定方式은 Log module을 使用한 對數化 回路方式과 Feed back ratio 設定方式이 主로 使用된다.

3-3: Low-energy γ 線의 吸收係數와 吸收體組織

Photoelectric effect(光電效果)가 현저히 나타나는 100KeV以下의 γ 線일 때 μ_{pe} 는 测定體의 原子番號(Z)의 5乘에 比例하니까 ^{241}Am 의 γ 線을 利用한 薄은 鋼板의 두께 测定에는 测定物인 鋼板의 組織成分의 영향을 充分히 分析하여 알고 있어야 한다. Low energy γ 線의 各種物質에 依한 吸收係數(cm^2/g)의 變化는 다음과 그림 9와 같다.

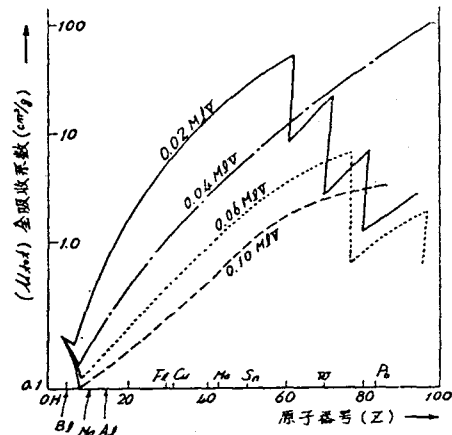


그림 9. Low energy γ 線의 吸收係數의 原子番號依存性

그림 9와 같이 被測定物의 組成 成分에 따라서同一 energy 일때라도 其吸收係數가 다르며 따라서 (7)式의 μ 값이 變化하여 E 한 檢出量이 달라진다.

吸收體의 吸收係數는 組成을 알면

$$\mu_{tot}/\rho = \sum_i (\mu_{tot}/\rho)_i \cdot \gamma_i \quad \dots \dots \dots \quad (24)$$

와 같이 되어 計算할 수 있고 여기서 $(\mu_{tot}/\rho)_i$ 는 i 인 element에 對한 全質量吸收係數고 γ_i 는 i 인 element의 重量成分比다.

3-4: γ -ray thickness gauge의 實用

γ 線 두께 측정 gauge의 線源은 ^{60}Co , ^{137}Cs , ^{241}Am 이 主가 되고 被測定物이 鋼板이라고 할 때 其使用 RI-Source가 Co 냐, Cs, Am 냐에 따라서 同一한 두께에 對해서도 其透過率(%)이 다르다. 即 Co 때 約 90% 라면 Cs 때 80% Am 때 30%로 투과율이 떨어짐은 ^{241}Am 의 γ -energy가 0.027MeV, 0.03MeV, 0.06MeV로 낮기 때문이다. 따라서 ^{60}Co 나 ^{137}Cs 은 각각 (2.7~55)g/m², (2~40)g/m²의 测定範圍일 때 ^{241}Am 은 (400~3,500)mg/cm²로 (0.4~3.5)g/cm²의範圍가 되고 있다.

^{137}Cs -Source로서는 鋼板일 때 0~120mm의 측정범위고 應答性은 0.5~0.1sec, 精密性은 0.05mm~2mm가 된다. 测定條件은 热間壓延工程일 때가 많고 물冷却장치, 1000°C以上인 测定物에서의 热輻射에 依한 計器오차(온도특성)를 除去하기 為한 보상장치, 工場內 惡환경에 對한 耐부식, 耐濕性, 耐진동性等에 對한 對策도 講求되어야 한다. ^{241}Am -Source는 薄은 鋼板, 黃銅板等의 두께 측정에 使用되고 鋼板의 두께는 0~6mm 측정에 適合하며 應答性은 0.1sec, 오차는 ±(1~

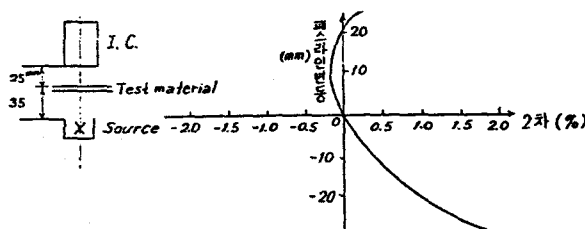


그림 10. 放射線 Thickness gauge 의 측정 범위의 一例
(但 X-線=70kV 때의 實測例)

表 4. γ -線定數 (Γ)

R.I.	Γ
^{60}Co	1.35
^{137}Cs	0.33
^{46}Co	0.56
^{52}Mn	1.93
^{21}Na	1.89
^{22}Na	1.32
^{131}I	1.25
^{136}Br	1.50

20) μ 程度다. ^{211}Am 的 長點은 半減期가 458年으로 他 Source 보다 길다는 點이다. Source 的 一般的인 具備條件은 ① 半減期가 길것, ② 被測物의 材質, 두께에 적합한 energy 를 가질것, ③ 比 gamma 定數(Specific gamma Constant)가 낮을것 等을 列舉할 수 있다. ④ 第項의 問제는 Radiation Protection 에 매우 主要한 要素가 되며, Dose-rate in rads per hour per curie at 1 meter (Γ)의 値으로 表示한다. 其値을 表示하면 다음과 같다.

表4로서 Γ 的 値이 높은 RI 일수록 우리들 人體에 對한 防禦를 철저히 하여야 한다. 即 Source의 遮蔽를 철저히 하여야 하며 使用하는 周圍의 RI-標識物 및 出入制限의 標示, 환경 방사선 관리를 為한 monitor 즉 측정기기가 具備되어 있어야 하며 수시로 방사선량을 측정하여 둘이 安全 하다.

上記 Γ 的 値을 表示하는 基本式은

$$\Gamma = 19.3 \sum_i n_i (h\nu)_i \left\{ \frac{\mu_a}{\rho} \right\}_i \frac{mR}{mC_i h_r} \text{at } Im \quad \dots \dots \dots (24)$$

로 되고 n_i 는 $(h\nu)_i$ 的 energy 를 가진 photon 數, $\sum (h\nu)_i$ 는 放射能束과 당 生性되는 全體 photon energy

(MeV)이고, $\left\{ \frac{\mu_a}{\rho} \right\}_i = \mu_m$ 은 質量吸收係數다.

^{211}Am 은 薄은 金屬板 측정用 뿐만 아니라 小容量 容器의 內容物 檢查用으로도 使用된다. 即 dia=5.2cm 的 小形 통조림 罐통의 內容量을 ±1mm 程度의 精密度로 其 Level(液面 또는 準位)을 測定하는데도 使用되고 있다.

3-5 : Thickness gauge 使用上 留意해야 할 點

① Source로서는 不論 μ 線, γ 線, X 線의 3種이 있고 測定方式에 따라 투파형, 散亂形이 되겠지만 RI 使用 때는 各核種에 대한 特性 即 半減期, energy, 被測定에 대한 吸收係數(그림 9), 두께의 範圍 等을 考慮하여 選擇을 해야 하며 가령 測定範圍의 一例를 들면 다음 그림 10과 같다.

測定範圍는 RI 使用인 경우 투파형으로는 Source의 半價層의 約(0.2~5)倍의 두께이고 산란형일 때는 約(0~1.5)倍의 두께까지 된다. X 線인 경우 管電壓에 따라서 其範圍가 自由로이 變更되나 現在 40,000mg/cm² (鋼材 때 約 50mm)가 最大值며 그림 10으로 圖示 되었다. 同一한 測定範圍에 있어서 RI 使用일 경우와 X 線使用일 경우의 各各 其長點, 短點을 잘 理解하고 目的, 用途에 따라서 別할 必要가 있다. 가령 放射線 energy 的 物質吸收는 β 線일 때 被測定物質의 差로 因한 영향은 적고 核種이 가진 最大 energy 的 約 1.4乘에 逆比例하나 X 線, γ 線일 때는 測定材料의 原子番號(Z)의 3乘에 比例하므로 鋼板 表面에 물, 기름 等이 있을 때 壓延 Line에서 X 線, γ 線일 때는 이 영향이 적으나 測定材料의 密度變化가 精密度上 문제가 될 때에는 β 線이 더 좋다.

gauge 機種 選擇에 있어서는 以上과 같은 문제以外에 精密度維持를 為해서 gauge의 設置條件, 안전성, 보수성, 경제성 등 종합적인 檢討後에 決定해야 할 것이다. 自動制御를 하는 경우 gauge의 制御性 向上을 為해서 應答性이 좋은 X-線 使用과 Time Constant (RC)가 적어야 된다.

② 構造에 있어서 堅固하고 耐震, 耐熱, 防水油의 구조가 必須條件이 되고 detector 部가 Line 上에 設置 되기 때문에 이 必要性이 크다. detector 와 被測定材 사이의 衝突문제도 考慮해야 하며 材料板의 破斷 및 弹으로 因하여 檢출기와 충돌할 염려도 있는 것이다. 따라서 設置할 때 檢출部 앞쪽에 guide guard cover를 設置함이 좋다.

水, 油滴의 영향: 壓延時에 冷却, 潤滑을 위해 多量의 물, 기름을 使用하는 關係上 檢출부周圍에 mist 가 飛散하고 壓延 role 近方은 高溫多溫 狀態가 된다.

R.I. 測厚計의 特性

gauge 를 長期間 使用하면 間隔的으로 其性能을 比較 檢查해야 하며 조임쇠 고무바킹등의 老化, Connector 의 防水處理不良, mist 浸入에 依한 絶緣不良, Short 短絡에 依한 燃損事故도 고려해야 하고 特히 X線의 检출부에는 高壓 變壓器를 內藏하고 있어서 더욱 注意해야 하겠다.

③ 热的영향: 热間延 두께측정인 경우 被測材의 온도는 1,000°C 前後의 高溫인 경우도 많다. 이때 고온으로 因한 检출기, 전자증폭기 등은 측정오차를 나타낸다. (그림 8-a) 뿐만 아니라 热的영향은 전기부품의 수명단축 및 고장을 일으키는 要因이 되므로 检출部 flame 을 防熱板으로 被覆하든지 水冷 空冷을 해주어야 하며 Pre-Amplifier(전자증폭기)를 检출부에 內藏하지 않고 別途로 두는 것이 좋다. 또한 信頼性, 保守性 向上을 위해 이증폭기는 集積回路를 使用하고 Module amplifier 를 사용하여 drift 를 減少시켜 준다.

精密度維持문제: 鋼板이 傾斜된 때의 오차가 되고 鋼板인 被測材는 방사선 Beam 方向에 대하여 恒常 直角方向이라야 하며 강판경사각이 크면 오차도 물론 커진다. 이는 角度오차率이 되고 $\eta_0 = \frac{t' - t}{t} \times 100$ 으로 表示하고 t =被測材의 두께 t' =방사선 Beam 方向의 被測材의 두께다.

④ Pass-line 的 變動으로 因한 誤差: 上記의 被測材와 방사선 Beam 과의 相對角度가 一定하다고 해도 被測定材가 通過하는 Pass-line 的 變動으로 鋼板을 測定할 때 其오차가 문제시 된다. Pass-line 이 變動하던 방사선이 散亂되어 其오차가 생긴다. Source에 따라 이 오차는 다르며 即 β - γ 線源에 比하여 X線을 使用하던 이는 點線量이 比較的 높아서 測定 Beam 을 Collimation 시킬 수 있고 X線發生器와 上部检출기의 거리를 걸게 取할 수 있는 利點이 있어 그 오차는 相對的으로 적어진다. 이 Pass-line 變動에 依한 오차는 다음 그림 11과 같다.

⑤ 校正曲線의 經年變化: 被測材는 標準材와 比較하여 校正曲線으로 調整하게 되어 이較正曲線은 長期間 不變이라야 한다. Analog 式을 使用하고 있지만 其結果는 不變은 아니다. 그림 12와 같이 두가지 경우에서 ①의 경우는 ②에 보다 變化率(%)이 十倍로 더 많으며 板의 두께가 두꺼울수록 其變化率은 적다. 主要因은 Source의 減衰, 전리합特性의 變化, 電壓의 變化, 設定用 Potentiometer의 磨耗等이 되나 主로 放射線吸收特性이 반드시 指數函數로만 表示되지는 않는다는 데도 其原因이 있고 또 設定回路의 抵抗變化와 Scale의 Shift에도 原因이 있다.

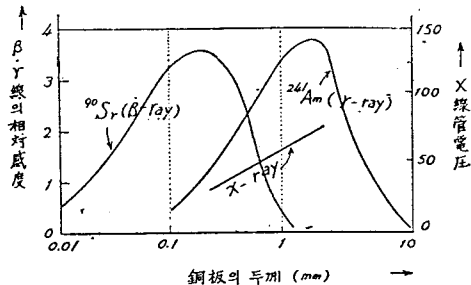


그림 11. Pass-line에 依한 오차 (^{241}Am 300mCi γ 線 Thickness gauge)

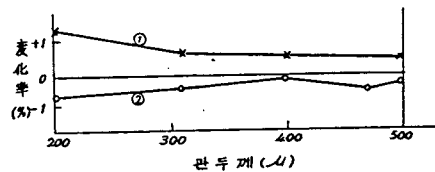


그림 12. Analog 式 gauge의 校正曲線의 經年變化(約 10個月經過)

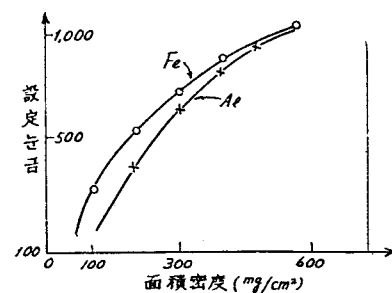


그림 13. Fe 와 Al의 較正曲線

⑥ 校正用 標準片: 標準片의 選定方法, 保管方法, 基準板두께의 測定方法, 材質 및 保管中 其經年變化의 程度등을 考慮해야 하며 標準自體의 두께測定이 가장 重要한 문제다. 이 標準片의 精密度가 要求된다. 이 基準두께의 決定은 主로 一定한 面積의 重量測定에서 換算하는 方法을 使用하고 被測材와 標準片의 材質이 同一할 것이 要求되고 鐵片等은 保管中 녹지 않게 해야 하고 Stainless Steel, Aluminum 的 標準片인 경우 其面積密度(mg/cm^2)만의 換算으로는 안되며 鐵파代置用材質의 두 曲線에서 鐵과 等價한 두께를 求할 必要가 있다. 即 그림 13으로 表示된다.

4. 散亂形 測厚計

4-1. 散亂形 Thickness gauge의 特性函數

이 gauge 는 방사선을 被測材에 入射시켜 被測材에

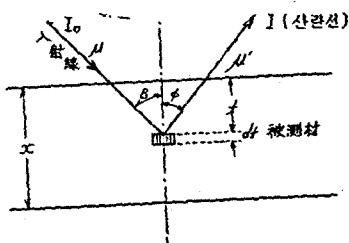


그림 14. 산란형 gauge 의 원리

依한 散亂線을 測定하여 두께를 測定하는 것이고 其原理는 다음 그림 14와 같다.

그림 14에서 다음과 같은 式이 成立한다.

$$\begin{aligned} I &= \int_0^x I_0 \exp\left\{-\mu \frac{t}{\cos \theta}\right\} \cdot \beta \cdot \exp\left\{-\mu' \frac{t}{\cos \varphi}\right\} dt \\ &= I_0 \frac{\beta}{\left\{\frac{\mu}{\cos \theta} + \frac{\mu'}{\cos \varphi}\right\}} \left(1 - \exp\left\{-\frac{\mu}{\cos \theta}\right\}\right. \\ &\quad \left. + \frac{\mu'}{\cos \varphi} \cdot x\right) \end{aligned} \quad (24)$$

여기서 x 는 被測物의 두께, μ, μ' 는 入射 및 散亂放射線의 吸收係數, β 는 被測材의 單位길이當 放射線의 散亂確率이다.

被測材의 두께가 充分히 두꺼울 때 I 는 一定値에 收斂하여 이를 I_{sa} 라고 하면

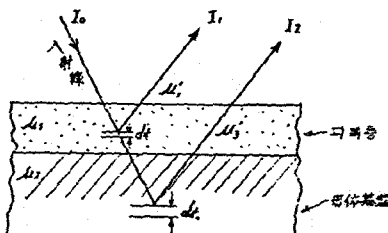
$$I_{sa} = \frac{I_0 \beta}{\left(\frac{\mu}{\cos \theta} + \frac{\mu'}{\cos \varphi}\right)} \quad (25)$$

로 되어 I_{sa} 란 I 의 齧和値가 되고 齧和背後散亂量 (Saturated Backscattering Quantity)이라 하고 實際로는

$$x_{max} = \frac{3}{\left(\frac{\mu}{\cos \theta} + \frac{\mu'}{\cos \varphi}\right)} \quad (26)$$

가 되고 (26)式 x_{max} 때 (24)式의 I 는 齧和値가 된다. 特徵으로서 (26)式의 $\left(\frac{\mu}{\cos \theta} + \frac{\mu'}{\cos \varphi}\right)$ 의 値은 투과形의 μ (16式 17式)에 該當함을 알 수 있다. $\theta, \varphi=0$ 가 되고 使用할 경우가 많고, μ 와 μ' 의 差異도 적어서 同一 Source를 散亂形으로 使用하면 투과形에 比하여 結보기 吸收係數가 2倍가된 特徵으로 되고 측정법 위도 투과形의 $\frac{1}{2}$ 로 되어 簡便을 측정함에 便利하다. 그

림 14에서 알 수 있는 點은 산란形 때 被測材의 한쪽에서 其두께를 測定할 수 있으므로 Tank, 船舶 및 建造物의 壁等과 같이 한쪽에서만 其두께를 측정할 수 있는 物體에 應用할 수 있다. 또한 이 形의 큰 特徵은 母體基板위에 他金屬物質로 도금되어 있는 表面層만의 두

그림 15. β -線散亂形피복物 두께 측정 Model

계測定에 利用된다는 點이다.

4-2 β -線 film thickness gauge:

β -線을 利用하여 各種 被覆層의 두께를 測定하는 것이고 散亂形이며 其特性 函數와 그림(model)은 다음과 같다. 그림 15의 被覆層 model에 對한 特性函數를 計算하면

$$F = I_0 [K \{1 - \exp(-\nu x)\} + \exp(-\nu x)] \quad (27)$$

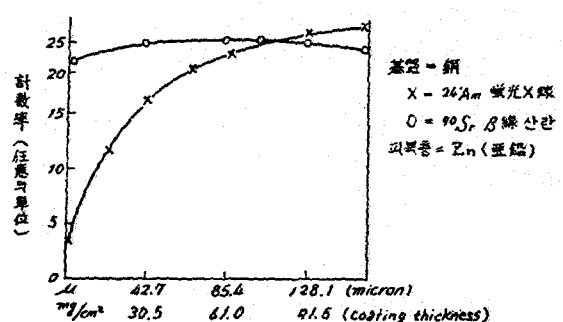
과 같고 I_0 는 母體基板이 있을 때의 入射線量이고 여기서 鈴和 Saturation back-scattering -放射線量은 각각 I_1, I_2 가 되고 $\mu_1 + \mu'_1 = \mu_1 + \mu_3 = \nu$ 가 된다.

(27)은 近似式으로 하면 다음과 같다.

$$F = I_{sa} [1 - \exp(-2x/x_{\frac{1}{2}})] \quad (28)$$

여기서 $x_{\frac{1}{2}}$ 은 β 線의 半價層(H. V. L.)이다. 亞鉛鍍金層의 두께測定, 鋼板의 鍍金屬 측정에는 Source로서 $^{90}\text{Sr}, ^{85}\text{Kr}$ 의 β 線의 散亂을 利用하여 現在 螢光 X線을 利用하는 方法도 使用되며 이는 ^{241}Am 에서 放出되는 11.9~59.5KeV의 低 energy γ 線을 鋼板에 入射시켜 表面層인 亞鉛의 原子量 動起하여 亞鉛層에서 放出되는 特性 X線((Zn K X線)의 強度를 比例計數管으로 測定하여 其皮複層의 두께를 얻는 方法이다. 다음 그림 16은 이 關係를 圖示한 것이다.

그림과 같이 螢光X線일 때는 ^{90}Sr 에 보다 두께變化

그림 16. Zn-피복층의 두께와 β 線散亂 및 螢光X線量과의 關係

에 對한 計數率의 變化가 크다는 것을 알 수 있다. 더詳細한 說明은 뒤로 미루겠다.

4-3. γ 線散亂形 Thickness gauge

γ 線散亂에 대한 特性函數는 (24)式에서

$$I = I_0 \frac{\sigma_c + \sigma_{coh}}{\mu + \mu'} [1 + \exp(-(\mu + \mu')x)] \quad \dots \dots \dots (29)$$

와 같이 되고 其飽和後方散亂量은

$$I_{sat} = I_0 \frac{\sigma_c + \sigma_{coh}}{\mu + \mu'} \quad \dots \dots \dots (30)$$

과 같이 表現된다. 여기서 σ_c 는 Compton Scattering의 吸收係數, σ_{coh} 는 入射 γ 線과 散亂線과 干涉된 Wave로 因한 Coherent-Scattering에 依한 吸收係數다. 또한 μ , μ' 는 入射 및 散亂線의 吸收係數及 光電效果·Compton-Scattering, Pair Production(電子雙生成)에 依한 吸收係數의 合이다. 이 들은 γ 線의 energy 와 散亂體인 被測物의 原子番號에 따라서 變化한다. ^{211}Am 의 散亂量은 物質에 따라서 다르고 그 相違點은 다음 그림 17과 같다.

그림 17의 特性에서도 β 線散亂形 之外 같아 γ 線으로도 두 金屬層인 피복層의 두께를 選擇的으로 測定할 수 있음을 나타내고 있다. 이 ^{211}Am γ 線의 散亂을 利用하면 輕合金일 때 2~9mm, Plastic 때 3~20mm의 두께로 比較的 얇은 物體의 두께를 測定하는 데 적당하다. 但 鐵, 鋼과 같은 原子番號가 높아지면 散亂線이 測定物內서吸收되어 減衰하므로 測定範圍에 大端히 鑽어진다.

低 energy X線을 合成纖維의 가는 실에 入射시켜 直角方向에 散亂되는 線量을 전리 함으로 測定하여 1,000~4,000 denier(1denier=1.1 $\mu\text{g}/\text{cm}$)의 굽기에 대해 ^{125}I , 50mCi를 使用하여 1~2%의 精密度와 $RC=$

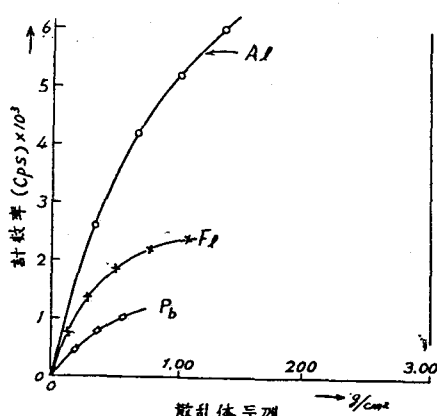


그림 17. ^{211}Am γ 線의 背後散亂量 差異($^{211}\text{Am}-80\mu\text{Ci}$ 使用 때)

1sec로 測定한 告도 있다.

5. 融光 X線을 使用한 피복두께 측정;

放射性同位元素을 線源으로 한 融光 X線分析法은 半導體檢出器(Ge, Si-detector)와 高分解能 波高分析器(High Resolution Pulse Height-Analyzer) 및 各種 filter (FeK, ZnK, CrK, CdK, NiK 및 TiK 등등)를 利用하는 非分散分析法의 發達로 이 分析法이 活潑해졌고 最近에는 大氣 및 水質 汚染分析에 中性子 放射化分析法과 같이 其利用途가 높아졌다. 다만 두께 측정에는 實用的으로 3.5KeV 以下의 energy를 가진 X線檢出은 簡單치 않고 On-Line 儀器로서 對象元素에 限界는 Ca까지이다.

5-1. 피복층 劍起法

劍起用 放射線을 測定物에 入射시켜 피복층에 依하여 여기서는 融光X線強度를 測定하는 方式이고 檢出量 I 는

$$I = I_{sat} [1 - \exp(-(\mu_e + \mu_f)x)] \quad \dots \dots \dots (31)$$

가 되고 여기서 μ_e , μ_f 는 劍起用 放射線 및 피복층에서 여기서 형광X線의 劍복층에 依한 吸收係數고 I_{sat} 는 劍복층에 依한 饰和出力이며

$$I_{sat} = K I_0 \frac{W_K \cdot \zeta_K}{(\mu_e + \mu_f)} \quad \dots \dots \dots (32)$$

로 表示되고 W_K 는 入射放射線의 劍복층 特質의 K-Shell에 依한 光電吸收係數, ζ_K 는 融光 Yield(收率), I_0 는 劍起入射放射線量이고 I_{sat} 를 주는 두께 x_{sat} 의 值은 大略

$$x_{sat} = \frac{3}{(\mu_e + \mu_f)} \quad \dots \dots \dots (33)$$

과 같이 된다.

基盤(母體)여기法: 여기用방사선이 劍복층을 통과하여 기반에 도달하고 여기서 여기서 여기서는 형광X線은 다시 劍복층을 투과하여 外部로 放出되는 量을 測定하는 것 이고 檢出量 I 는

$$I = I_{sat} \exp(-(\mu_e + \mu_f)) \quad \dots \dots \dots (34)$$

의 形式이 된다. I_{sat} 는 기반에서 여기서는 형광X線의 式화된다.

5-2. 여기용방사선원(形광X線 RI-Source)

$^3\text{H}-\text{Zr}$, ^{211}Am , $^{147}\text{Pm}-\text{Al}$ 等 여기用방사선 RI-Source로서 갖추어야 할 特性이 있으며 다음과 같은 特性이 要望된다.

(1) 特性X線의 發生効率이 높고 散亂線으로 因한 Background가 낮을 것.

表 5. 融光X線의 복두께 측정법 利用例

용 도 선 원	강 도	filter	측 정 범 위	정 밀 도
Sn-전기 도금	$^3\text{H}-\text{Zr}$ (Brems)	2.5Ci	무	0.05~1.5lb/basis box 0~1μm
Zn-도금	"	"	Ni	$5\sim 500 \times 10^{-6}\text{in}$
Cr-도금(鐵 base)	$^{147}\text{Pm}(\beta)$	100mCi	Cr	—
Cu(鐵 base)전기 도금	$^3\text{H}-\text{Zr}$ (Brems)	2.5Ci	Fe	$\sim 0.1 \times 10^{-3}\text{in}$
Cd(Fe-base)	$^{147}\text{Pm}-\text{Al}$ (Brems)	100mCi	무	$1\sim 3 \times 10^{-4}\text{in}$
Pt(Ti-base)	$^3\text{H}-\text{Zr}$ (Brems)	2.5Ci	"	$0.2\sim 5 \times 10^{-5}\text{in}$
Au(Ti-base)				2%,
Au(Cu-base)	$^{85}\text{Kr}(\beta)$	100μCi	—	—

(2) 小形으로서 放出 Yield 가 充分할 것.

(3) 必要한 X線以外의 γ 線이나 制動放射線이 적을 것 等이다.

여기용 방사선원의 energy는 被測物體의 形狀X線 energy 보다 높아야 그 여기의 効率이 높고 X線인 경우의 効率은(入射방사선과 피복물층물질의 K-Sheil에 依한 光電吸收係數) \times (螢光 Yield)의 값으로 表現된다. 여기서 使用 되는 線源은 보통 ^{211}Am , ^{55}Fe , $^{147}\text{Pm}-\text{Al}$, $^3\text{H}-\text{Zr}$, $^3\text{H}-\text{Ti}$ 등의 制動放射線源이다.

上記表5와 같은 RI-Source에 依한 融光X線励起法은 RI에서 放出되는 放射線強度가 X線管에서 放出되는 放射線強度와 比較하여 $10^{-3}\sim 10^{-6}$ 정도로 적다.

한편 검출기의 Window에는 얇은 foil로 차폐하는 X線 filter 方式이 간단하고 安定性이 있으며 또한 높은 分解能을 얻을 수 있으므로 現在 넓게 使用된다.

X線 filter를 使用하면 전리함(I.C.)과 같은 energy 分解能이 없는 검출기도 形狀X線分析에도 有効하게 使用할 수 있게 된다. X線 filter에는 吸收係數 filter, 吸收端 filter, 平衡 filter等이 利用되고 있다.

表5의 用途에서 例示한 것에서 Zn-도금일 경우 피복의 두께變化에 대한 검출량變化의 相對值는 形狀X線인 경우가 β 線 backscattering法에 比하여 10倍정도 높고 形狀X線法은 base-metal의 硬度의 영향이나 空氣密度의 영향도 없다. 검출기로서는 其安定性 實用性인 面으로 보아 比例計數管이 主로 使用되고 있으나 이는 其分解能으로 높은 線量測定이 困難하고 統計的 요동에 依한 오차가 커서 結果的으로 應答性이 낮아지는 缺點을 가지고 있다.

6. 結 言

本 解說은 Thickness gauge 만의 特性을 記述하였으나 gauge(defector)로서는 其 Level gauge, Density

gauge, moisture gauge, 硫黃分析計, 雪量計(積雪量測定計), 真空計, 煙探知器(Smoke detector) 等 RI 利用의 gauge (defector)가 많으며 實際製造工程에서 On-Line 으로 自動制御로서 品質을 管理함에 必要하나 萬一 繼續的이 아니고 Spot-Check 式일 때 RI 利用 gauge 以外에도 Ultrasonic Digital thickness gauge(超音波測厚計)가 있으며 使用目的 用途에 따라서 使用者가 選擇해야 하며 超音波측후계의 長短點, RI-측후계의 長短點을 充分히 理解하고 使用하면 된다.

다만 RI-측후계를 使用할 때 가장 注意해야 할 點은 放射線強度가 높을 때 其容器의 차폐, 주위 환경의 오염을 반드시 考慮해야 하며 RI-取扱에 대한 法的規制와 아울러 방사선 防禦(Radiation Protection) 문제를 徹底히 明確하여 作業의 從事者에 대한 人體障害 有無를 檢討함은 勿論 ICRP 規定을 充分히 준수하도록 해야 한다.

即 基本的으로 集積線量은 $D=5(N-18)\text{rem}$ 을 適用해야 하고 방사선 作業 종사자일 때 5rem/y, 관리구역수시出入者는 1.5rem/y, 一般人 即 관리구역以外의 作業자는 방사선종사자의 $\frac{1}{10}$ 인 0.5rem/y로 規制되어 있으며 이 線量은 全身, 生殖腺 및 造血器管에 適用되며 主로 外部被曝에 대한 경우만 고려하면 된다. (RI-gauge에서) 또한 適當被曝線量은 방사선종사자일 때 30mrem/Week 를 되어 있다. 勿論 取扱者は 上計式에서 18歲 以上이라야 하며 原子力法에 이도 規定하고 있다. 30mrem/Week 的 最大許容線量은 1日 作業時間 을 8시간 1週를 6日(作業日)이라고 하면 其許容線量은 0.625mrem/hour 가 되고 차폐容器 周邊의 방사선 강도가 1meter 떨어진 곳에서 0.5~1mrem/hour 라고 하면 其位置에서 1時間 있을 때 人體에 대한 被曝線量은 0.5~1mrem이 되고 2meter 거리에서는 이 값의 $\frac{1}{4}$ 이 된다.

RI-gauge 의 Source 近方에는 「管理區域」標識을 반드시 붙여서 出入禁止의 표식과 줄을 쳐 두어야 한다. β , γ 線 取扱에 있어서 β 線은 物質과의 相互作用이 크므로 γ 線被曝線量에 比하여 β 선피폭선량은 10~100倍 정도 높아 피폭판리 관점에서는 β 線이 더욱 문제가 된다. 하나의 例로 β 線에 依한 吸收線量率은 다음과 같다.

即 放射能의 강도가 $1\mu\text{Ci}$ 인 點선원일 때 1cm 거리에서 約 $1\text{rad}/\text{h}$ 的 흡수선량율이 되며 이때의 $\beta_{\max}=0.3\sim2.5\text{MeV}$ 범위가 된다. 表面에서는 放射能면밀도가 $1\mu\text{Ci}/\text{m}^2$ 的 面線源일 때 吸收線量率은 선원表面에서 約 $10\text{rad}/\text{h}$ ($\beta_{\max}=0.8\sim3.0\text{MeV}$)가 된다. 上記의 放射선량 단위, 放射能의 단위는 最近 SI Unit(System

International)로 使用하도록 勸告하고 있으며 國際放射線 防禦學會(International Radiation Protection Association: IRPA)에서도 이 단위를 積極 추천하고 있으며 當分間은 舊單位系와 SI 系를 併用하게 되어 있으며 各種放射線計測器는 勿論 RI-gauge 使用의 防禦用 檢출기기들도 將次 이 SI-Unit 的 表示로 使用하게 될 것이다.

끝으로 Thickness gauge 를 상세히 설명한 것은 각종 gauge 中 이 gauge의 使用이 各國에서 가장 많고 現在 우리나라에서 使用하고 있거나 또는 앞으로 現場에서 必히 사용하려고 할 때 本補說이 多小나마 도움이 되었으면 多幸으로 여기겠으며 讀者の 편달을 바라 마지 않는다.